

УДК 535.56 : 548.0

ОПТИЧЕСКАЯ АКТИВНОСТЬ КУБИЧЕСКИХ КРИСТАЛЛОВ УРАНИЛБУТИРАТОВ

З. М. Алиханова, В. И. Бурков, С. И. Капырина,
В. А. Кизель, Ю. И. Красилов, И. Н. Иванова,
В. А. Мадий и Г. М. Сафонов

Экспериментально исследована оптическая активность кубических кристаллов уранилбутитратов. Рассматривается влияние параметра элементарной ячейки и типа катиона на вращательные силы. Показана молекулярная природа оптической активности.

Природа оптической активности (ОА), возникающей в кристаллическом состоянии и исчезающей при растворении или плавлении соединений, в общем случае различна [1, 2]. У таких кристаллов, как кварц [3], теллур [4] и ряда других [5], возникновение ОА связывают с молекулярным взаимодействием, обусловленным асимметрией кристаллической решетки. Существует другой класс кристаллов, у которых ОА возникает ввиду асимметрии молекулы или комплекса, причем степень асимметрии, приводящая к возникновению естественного вращения, в ряде случаев настолько мала, что с трудом поддается изучению рентгенографическими или спектроскопическими методами. Роль межмолекулярных взаимодействий, в этом случае определяющих симметрию кристаллической решетки, размерами ячейки, характером химических связей и др., многообразна и не всегда достаточно ясна.

В молекулярных кристаллах бензила, например, ОА обусловлена внутримолекулярным взаимодействием асимметрично расположенных карбонильных групп, а кристаллическое поле в основном препятствует рацемизации [6, 7].

В кубических кристаллах комплексных соединений натрийуранил-ацетата (НУА) и уранилпропионатов (УП) кристаллическое поле является непосредственной причиной деформации комплекса, причем величина ОА, зависящая от степени деформации, заметно изменяется от соединения к соединению [8, 9].

Цель настоящей работы — дальнейшее изучение влияния кристаллической решетки на ОА различных комплексных соединений уранила. Для этого были синтезированы соединения и получены монокристаллы гомологического ряда уранилбутитратов (УБ) $[M\text{UO}_2(\text{C}_3\text{H}_7\text{COO})_3]$: аммония (АБ), рубидия (РБ) и цезия (ЦБ). Увеличение размеров лиганда по сравнению с пропионато-группой, как и следовало ожидать, привело к заметному увеличению расстояния между комплексами, а также к изменению типа кристаллической решетки. Кристаллы УБ кубические, группа симметрии T^5 ($I\bar{2}3$), 20 молекул в элементарной ячейке [10].¹

Для исследования использовались плоскопараллельные пластинки, вырезанные из монокристаллов высокого оптического качества, не обла-

¹ $\text{KUO}_2(\text{C}_3\text{H}_7\text{COO})_3$ — согласно нашим данным, не кристаллизуется в решетку кубической сингонии в отличие от данных [10].

дающие двупреломлением, возникающим из-за микронеоднородностей и натяжений.

Измерение дисперсии вращения и других оптических характеристик проводилось на установках, описанных в [11, 12].

Результаты и обсуждение

Полное подобие спектров поглощения и люминесценции УБ, УП и НУА [8], а также данные [1, 3] свидетельствуют о том, что основной структурный мотив комплексного иона $[\text{UO}_2\text{C}_3\text{H}_7\text{COO}]^-$ идентичен таковому для УП и НУА. В пользу этого утверждения свидетельствует то обстоятельство, что у ацетатов и пропионатов уранила, кристаллизующихся в некубической сингонии, характер спектров и соотношения интенсивностей полос существенно другие [14, 15]. На рис. 1 приведен спектр ЦБ, поскольку спектры остальных соединений идентичны и незначительно отличаются лишь положением максимумов полос.

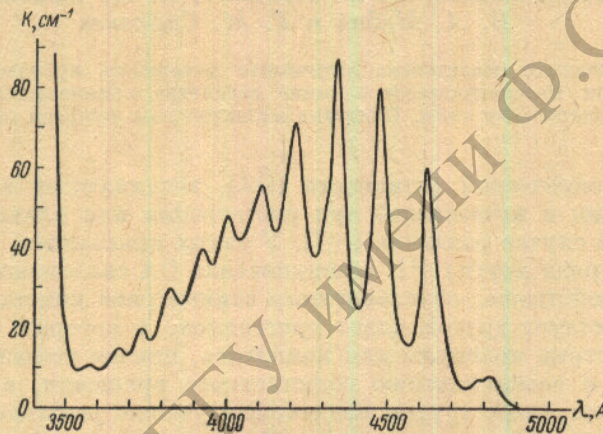


Рис. 1. Спектр поглощения кристалла цезийуранилбутата при комнатной температуре.

Силы осцилляторов для переходов, отмеченных на рис. 1, в спектрах поглощения УБ и УП также близки, хотя интенсивности полос у последних несколько выше.

В связи с изложенным можно утверждать, что комплексы УБ имеют островную структуру с тремя бидентатно координированными группами $\text{O}-\text{C}-\text{CH}_2-\text{CH}_2-\text{CH}_3$, т. е. достаточно близкую к УП и НУА [13] (рис. 2).

Кривые дисперсии оптического вращения (рис. 3) УБ тождественны по форме. Величины вращений вблизи соответствующих полос также имеют близкие значения. Аналогично УП и НУА [8, 16] вклад в дисперсию ОА дает электронно-колебательная полоса, соответствующая магнитно-дипольному переходу $A_{1g} \rightarrow A_{2g}$ («флуоресцентная серия» по [14]), и УФ полоса, приписываемая переходу $A_{1g} \rightarrow A_{2u}$. Вклад последнего, как видно из рисунка, значительно больше, чем первого, особенно вдали от резонансного перехода, частота которого ν_0 при комнатной температуре лежит в области $\sim 21\ 000 \text{ см}^{-1}$ (рис. 1). В [16] было показано, что вклад УФ полосы можно учесть с помощью формулы типа Друде

$$\varphi(\lambda) = \frac{A_0}{\lambda^2 - \lambda_0^2}. \quad (1)$$

Здесь φ — поворот плоскости поляризации, λ_0 — длина волны характеристической полосы. Константа A_0 связана с силой вращения перехода соотношением [16, 17]

$$R_{y\Phi} \approx 1.1 \cdot 10^{-42} k \frac{A_0}{(\lambda_0)^2}. \quad (2)$$

Используя значения угла поворота в областях вдали от ν_0 , где вклад в дисперсию вращения «флуоресцентной» серии мал, были проведены рас-

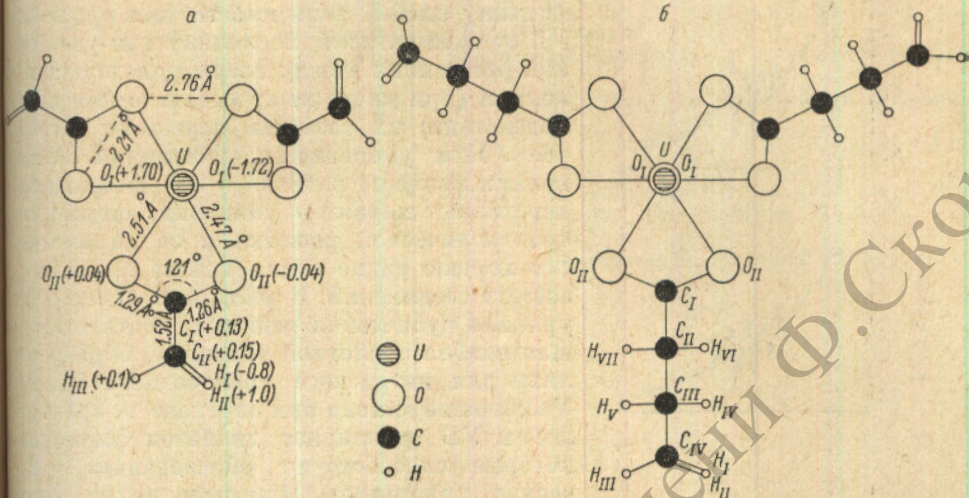


Рис. 2. Строение уранилацетатного (а) и уранилбутиратного (б) комплексных ионов.

четыре указанных в (1) и (2) параметров на ЭВМ по методу наименьших квадратов (см. таблицу). Вращательные силы полос «флуоресцентной» серии определялись из кривой дисперсии вращения стандартным образом [17].

Соединение	Параметр элементарной ячейки a , Å	Ионный радиус катиона r , Å	A	λ_0 , мкм	$R_t \cdot 10^6$ CGSE						
					300° К	300° К	R_1	R_2	R_3	R_4	$R_{y\Phi}$
$CsUO_2(C_3H_7COO)_3$	21.0 ± 0.3	1.65	0.13	0.25	0.78	1.06	0.77	0.64	0.41	0.32	410
$RbUO_2(C_3H_7COO)_3$	21.4 ± 0.3	1.49	0.14	0.25	0.81	1.07	0.80	0.68	0.43	0.33	430
$NH_4UO_2(C_3H_7COO)_3$	21.6 ± 0.3	1.43	0.14	0.25	0.81	1.08	0.79	0.68	0.43	0.33	430

Из таблицы видна идентичность основных характеристик УБ и УП [9, 16]. Это говорит о том, что механизм возникновения ОА в УБ и УП также в общих чертах одинаков и, как было показано ранее [16], обусловлен понижением симметрии анионного комплекса от D_{6h} до D_3 (или C_3) ввиду воздействия на него тетраэдрического поля кристаллической решетки.

Отметим, однако, ряд особенностей, характерных для рассматриваемого класса соединений. Из таблицы видно, что силы вращения в ряду АБ—ЦБ практически не зависят от типа катиона, в то время как у УП они изменяются по аналогичному ряду в два раза [16]. Помимо этого величина сил вращения полос «флуоресцентной» серии при переходе от УП к УБ несколько уменьшается, а $R_{y\Phi}$ изменяется слабо. Таким образом, значительное возрастание (более, чем на 10%) расстояния между уранильными комплексами [средний объем, приходящийся на формулу-

ную единицу в УБ, составляет ~ 400 (\AA)³, а в УП всего ~ 300 (\AA)³ и соответствующее уменьшение межмолекулярного взаимодействия не приводит к существенному уменьшению деформации комплекса, а следовательно, и ОА. По-видимому, межмолекулярное взаимодействие, приводящее к деформации комплекса, в этом случае осуществляется в основном за счет электростатического поля анионов и катионов, которое сравнительно слабо изменяется с расстоянием. Обменное же взаимодействие ввиду ослабления перекрытия электронных оболочек существенной роли не играет. Это предположение объясняет также и причину слабой зависимости сил вращения УБ от типа катиона, поскольку при увеличении расстояния между взаимодействующими ионами (при чисто электростатическом взаимодействии) их размеры перестают играть роль. При уменьшении расстояния между ионами размеры катиона в большей степени определяют характер упаковки, симметрию кристаллической решетки и ее параметры. Это хорошо видно и для класса рассматриваемых соединений. В ацетатных комплексах уранила кубическая решетка, соответствующая наиболее плотной упаковке, образуется лишь для натриевого производного (НУА). Увеличение аниона при переходе к УП и далее к УБ расширяет диапазон катионов, которые способствуют образованию кубических кристаллов. При этом видно, что с увеличением размеров аниона растут в среднем и размеры катиона: в УП натриевый, а в УБ натриевый и калиевый производные уже не дают кубических кристаллов.

Из таблицы видно, что величина вращательной силы $R_{\text{y}\Phi}$ значительно больше, чем R_i , причем отношение $R_i/R_{\text{y}\Phi}$ практически постоянно в ряду УБ и имеет несколько меньшую величину по сравнению с НУА и УП [16]. В НУА отношение $R_i/R_{\text{y}\Phi} \approx 2.9 \cdot 10^{-3}$, в УП в среднем $\sim 3.3 \cdot 10^{-3}$, а в УБ $\sim 1.9 \cdot 10^{-3}$. Последнее обстоятельство не противоречит сделанному в [16] выводу об одинаковом влиянии степени деформации уранильного комплекса на силы вращения, так как в использованной модели не учитывались некоторые различия в положении и силах осцилляторов соответствующих переходов, возможности взаимодействия электронных состояний уранила и лигандов. Это особенно важно для УФ полосы, так как ацетаты и пропионаты имеют сильные $n \rightarrow \pi^*$ - и $n \rightarrow \sigma^*$ -переходы в районе 1900–2500 \AA [18], в связи с чем возможна частичная делокализация электронного возбуждения.

Рис. 3. Дисперсия оптической активности кубических кристаллов РБ (a), АБ (б) и ЦБ (в) при комнатной температуре.

Необходимо также учитывать особенности электронно-колебательного взаимодействия и величину стоксовых потерь. Таким образом, полученные данные еще раз подтверждают концепцию молекулярного происхождения ОА кристаллов комплексных соединений уранила.

Необходимо также учитывать особенности электронно-колебательного взаимодействия и величину стоксовых потерь.

Таким образом, полученные данные еще раз подтверждают концепцию молекулярного происхождения ОА кристаллов комплексных соединений уранила.

Литература

- [1] Ю. А. Цвирко. ЖЭТФ, 38, 1615, 1960.
- [2] W. Graig. J. chem. Phys., 53, 1134, 1970.
- [3] S. Chandrasekhar. Proc. Indian. Acad. Sci., A35, 103, 1952.
- [4] K. Nomura. Phys. Rev. Lett., 5, 500, 1960.
- [5] З. Б. Перекалина, Н. Л. Смирнова. Кристаллография, 14, 820, 1969.

- [6] N. K. Chaudhuri, M. A. El-Sayed. J. Chem. Phys., 47, 1133, 1967.
[7] В. А. Кизель, Ю. И. Красилов, В. Н. Шамраев. Опт. и спектр. Сб. № 4: «Спектроскопия твердого тела», 85, 1969.
[8] В. И. Бурков, В. А. Кизель, Ю. И. Красилов, Г. М. Сафонов. Ж. прикл. спектр., 7, 781, 1967.
[9] З. М. Алиханова, В. И. Бурков, В. А. Кизель, Ю. И. Красилов, Г. М. Сафонов. Ж. прикл. спектр., 10, 134, 1969.
[10] A. Feggagi, M. Nardelli, M. E. Tani. Gass. Chim. ital., 87, 1203, 1957.
[11] В. И. Бурков, В. А. Кизель, Ю. И. Красилов. Ж. прикл. спектр., 9, 1062, 1968.
[12] В. А. Кизель, В. Н. Пермогоров. Опт. и спектр., 10, 541, 1961.
[13] Комплексные соединения урана. Изд. «Наука», М., 1965.
[14] G. Dicke, A. Duncan. Spectroscopic properties of uranium compounds. N. Y., 1949.
[15] Е. Рабинович, Р. Белфорд. Спектроскопия и фотохимия соединений урана. М., 1968.
[16] В. И. Бурков, В. А. Кизель, Ю. И. Красилов, В. А. Мадий, З. М. Алиханова. Изв. АН СССР, сер. физ., 34, 572, 1970.
[17] К. Джерасси. Дисперсия оптического вращения. ИЛ, М., 1962.
[18] У. Н. Ф. Рао. Электронные спектры в химии. Изд.-во «Мир», М., 1964.

Поступило в Редакцию 17 мая 1971 г.